

I - 3 カスナレーテッドビームの降伏に関する実験的研究

九州大学 正夏村上 正
同 同 ○前藤利一郎
同 同 後藤恵之輔

1. 要旨: H型鋼よりカスナレーテッドビームを製作するとウェブに六角形孔ができるので、せん断に対する著しく弱められることとなる。また、充腹部は、たわみに対して不利な断面となる。

これらの理により、ウェアの降伏について調べた。

2. 簡易計算法：单纯ばかりでは、これまでの数々の実験結果より、さほど問題にならないとされて
いる。これを連続ばかりに適用するには、ウェブがせん断に支配されることにより、部材を例えれば
はめこね板等を插入して、孔形を(六角形孔)→(八角形孔)に変えて、剛性を増すことも一つの方法と
考えられる。实用計算は主に弹性理論の助けをかりて行なわれるが、図-1、Zに、断面力と応力分布との関
係を示す。なお、最大応力度の生じる位置(フランジ、ウェブ)には番号を記して示すこととした。

せん断力は、上下の丁型断面がそれを、せん断力を
もと負担し、反曲点($M=0$)は $\frac{h_1}{2}$ にあるとしている。

実用計算には、およそ4つの場合を考慮する必要があ
る。すなわち 1). 純曲げ, 2). 純せん断, 3). 純引張り又は
圧縮, 4). 組合せ荷重であるがここでは 1), 2) を取扱うこととする。

3. 純曲げ (図-3).

いま、はりの横断面に、降伏モーメント(M_T)に安全率K倍が掛けるものとし、これを対応して降伏応力(σ_F)が横断面に一様に生じるものとする。このことから σ_F と(M_T)・Kの関係は次のとおり。

$$z = k; \quad W_{T1} = Bt_1(H+t_1) + t_1 h(H-h) \dots \dots \dots (2)$$

$$K: 安全率 \quad (1)式より \quad G_F = \frac{M_T}{W\tau_1} \cdot K \quad \cdots \cdots \cdots \quad (3)$$

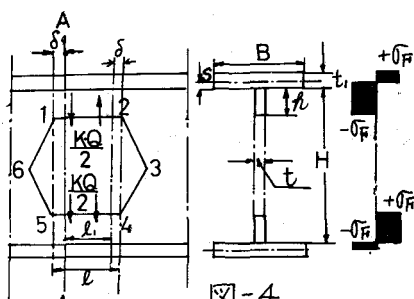
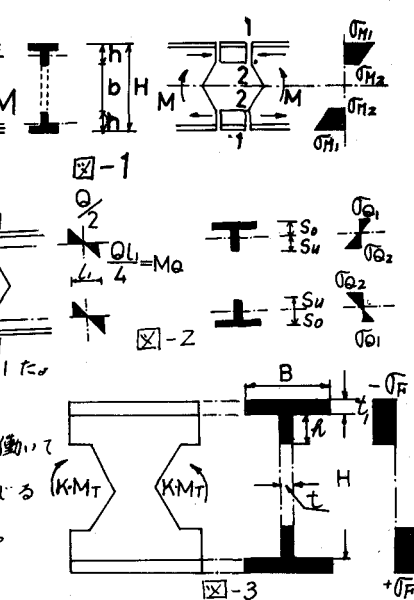
4. 純せん断 (図-4).

降伏点は、頂点より δ だけ離れた A-A 断面内に生じるものとする。うでの長さ $l_1 = l - z\delta$ である。

せん断力による付加曲げモーメント M_s は、平行辺 1-2, 4-5 を l_1 と 1 て定まる。

$$M_s = Q \cdot \left(\frac{l-z\delta}{2} \right) \quad \text{--- (4)}$$

せん断力は、横断面に一様に分布すると考えて、平面応力場で、VON MISES の降伏条件を適用すれば、 $\sigma_y^2 = \sigma_x^2 + 3\tau^2$



次にフランジの中立軸の位置 s を算定すると

$$S = \frac{t_1}{2} - \frac{t_h}{2B} \quad (7)$$

モーメント $K \cdot M_s$ で、降伏状態でのつり合式は

$$\frac{K \cdot M_s}{2} = \left[\frac{B(t_1-s)^2}{2} + \frac{B}{2}s^2 + t_h\left(\frac{t_h}{2}+s\right) \right] \cdot \sigma_y \quad (8)$$

式(7), (8)より s を消去すると

$$K \cdot M_s = 2 \left[\frac{Bt_1^2}{4} + \frac{t_1t_h}{2} + \frac{t_h^2}{2} - \frac{t_h^2}{4B} \right] \cdot \sigma_y = \left[\frac{Bt_1^2}{2} + t_h(t_1 + t_h - \frac{t_h}{2B}) \right] \cdot \sigma_y \quad (9)$$

したがって、 $W_{T2} = \frac{Bt_1^2}{2} + t_h(t_1 + t_h - \frac{t_h}{2B})$ にて、次の関係を得る。

$$\frac{\sigma_y}{K} = \frac{M_s}{W_{T2}} \quad (10)$$

5. 実験例 (フランジは省略)

拡張比 $\gamma = 1.46$ ($t = 6mm$) の試験片を用い、応力状態の推移を知るために、写真 1~4 を調べた。写真 1~4 の試験片は、撮影直後、破壊したものである。 $(M = 285 \text{ kg} \cdot \text{cm})$, 写真 1~3 は、モーメントを $60 \text{ kg} \cdot \text{cm}$ ずつ変化させた。



写真-1 $M=135 \text{ kg} \cdot \text{cm}$

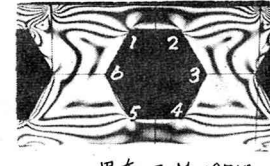


写真-2 $M=195 \text{ kg} \cdot \text{cm}$

写真-5 は同一材質 ($\gamma = 2$ 保有 $E = 300 \text{ kg/mm}^2$, ポアソン比 $\nu = 0.4$, 重量比 $100:50$, 厚さ $3mm$, 測定温度 18°C) をアルミ板 ($公称厚さ 3mm$) に施し、皮膜法 (装置 PA-21型) で観測した結果である。

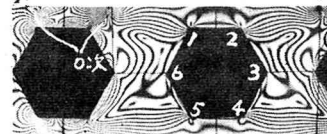


写真-3 $M=255 \text{ kg} \cdot \text{cm}$

等色線一等傾曲線 0° がまじりあって、判読が容易でない。したがって、 $M = 645 \text{ kg} \cdot \text{cm}$ で打切ったのは、アルミ板-皮膜材料とに剥離を認めためたのである。

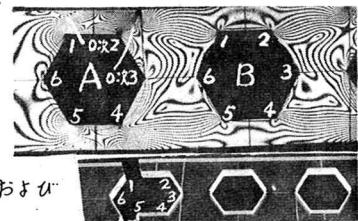


写真-4 $M=285 \text{ kg} \cdot \text{cm}$

載荷点を度外視すれば、荷重-シマズ数が比例する範囲は、およそ 写真-1. ($M = 135 \text{ kg} \cdot \text{cm}$), 2 ($M = 195 \text{ kg} \cdot \text{cm}$) である。

写真-3, 4 は孔頂点の応力集中が著しく、応力集中の度合、および集中個所の主ひずみの変化の過程が追跡されたといえよう。

写真-4 ($M = 285 \text{ kg} \cdot \text{cm}$) において B 孔の平行辺 1~2, 4~5 の中間断面のシマ様様を観察するに、シマズ数単位で、高々 1~1.5 次程度の差異しか認められず、一様分布とみなされ、式(3)の適用が可能と思われる。

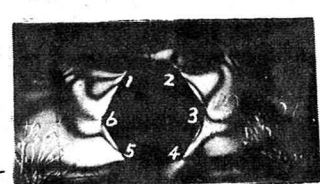


写真-5 $M=645 \text{ kg} \cdot \text{cm}$

また破壊断面 (写真-4の A3L) を見るに、荷重の載荷点近傍の断面 2~4, 孔頂点 2 で応力が降伏点に達し、局部的に降伏が始まり、破壊が始まると予想したが、断面 1~5 にその現象が認められた。このことは、応力の符号が変化する 0 次の位置が、孔頂点 1 および 5 のほぼ真上に位置することによると思われる。

b. むすび

この実験の範囲から、純粹曲げを受ける場合、式(3)が通用できると言えよう。

純せん断の場合についての実験検証は追級の予定であるが、さらに組合せ荷重についても検討中である。